

FIG. 1

1/38

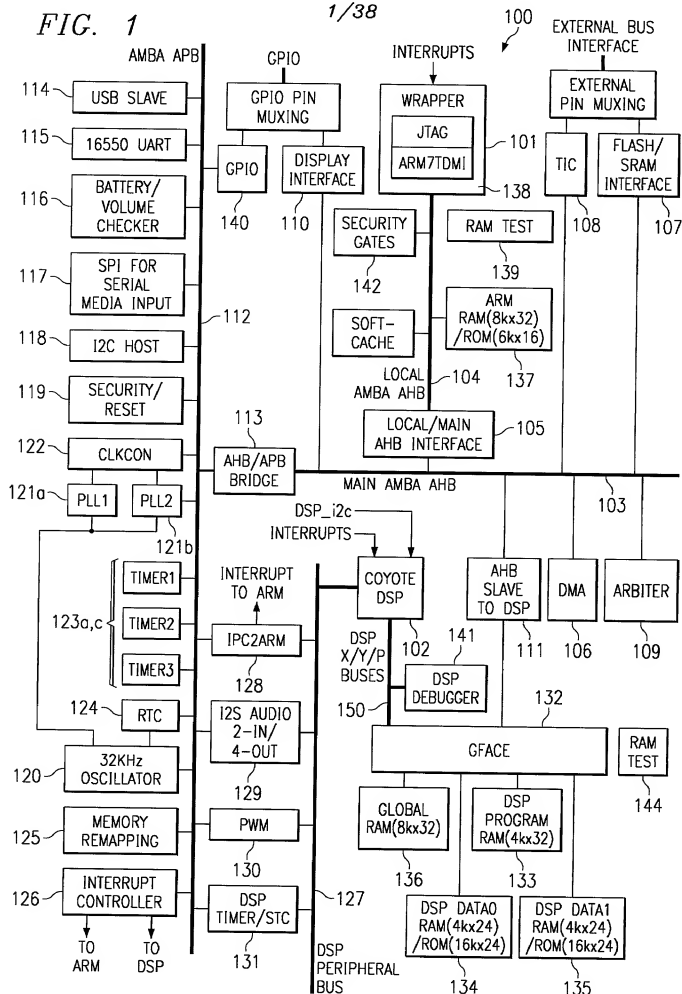


FIG. 2A

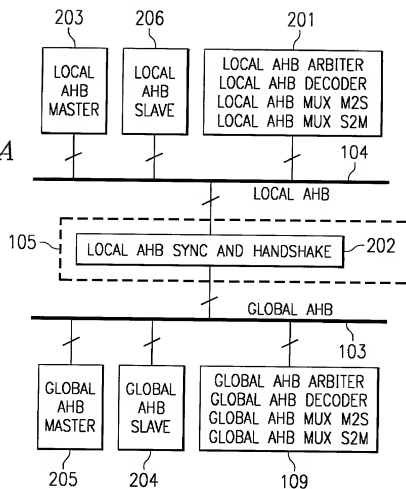


FIG. 3

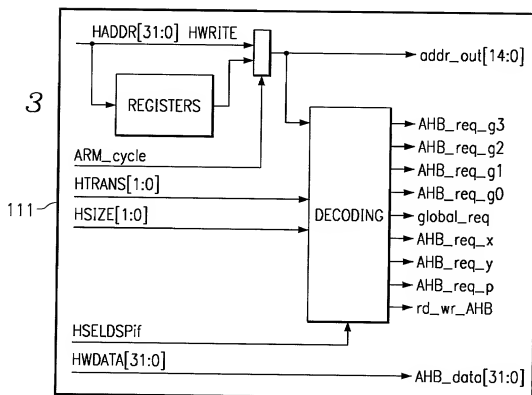




FIG. 2C

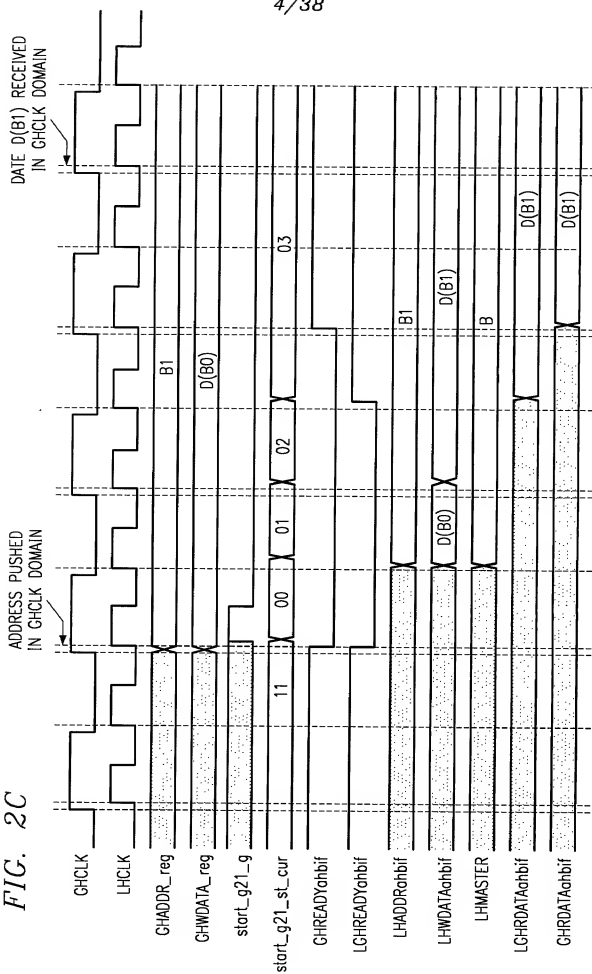


FIG. 2D

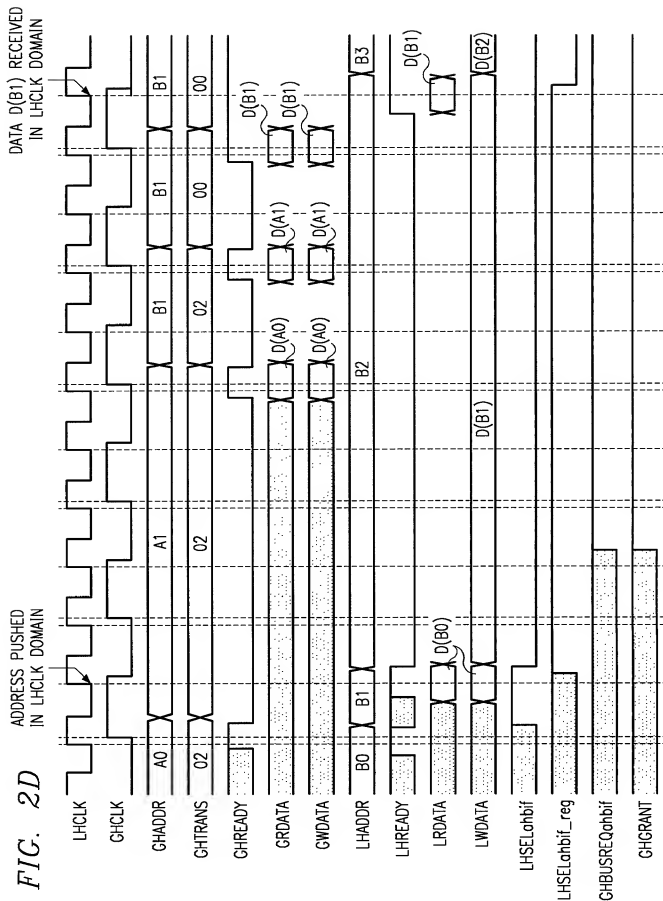
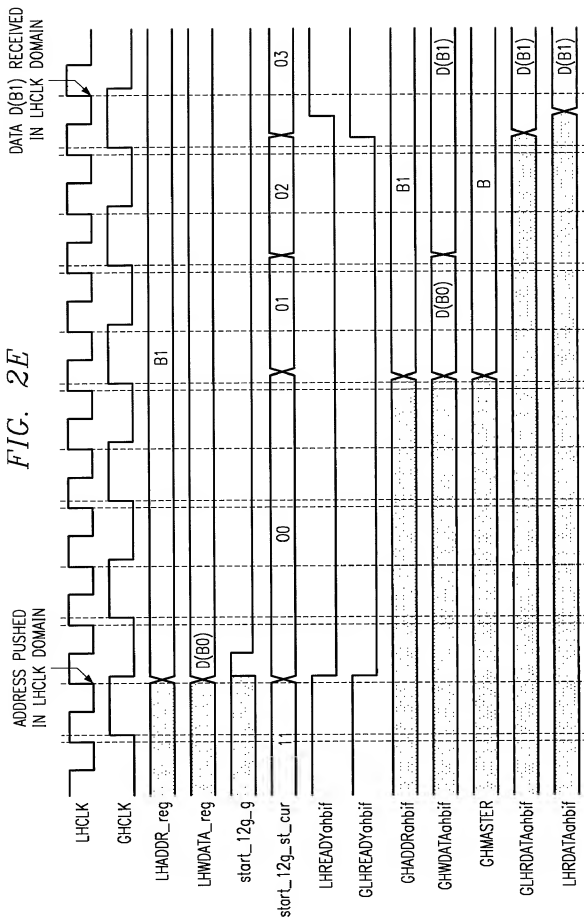


FIG. 2E



132

FIG. 4A

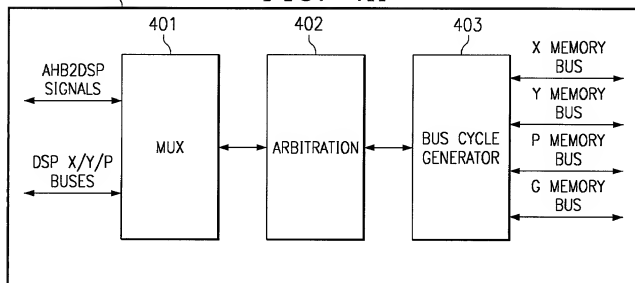
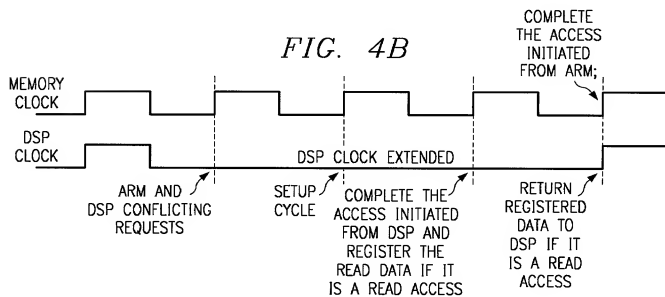
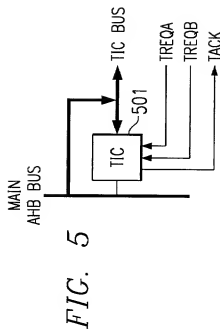
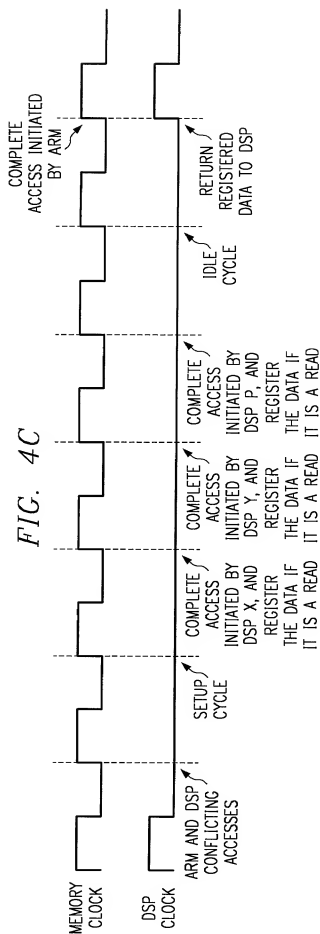


FIG. 4B







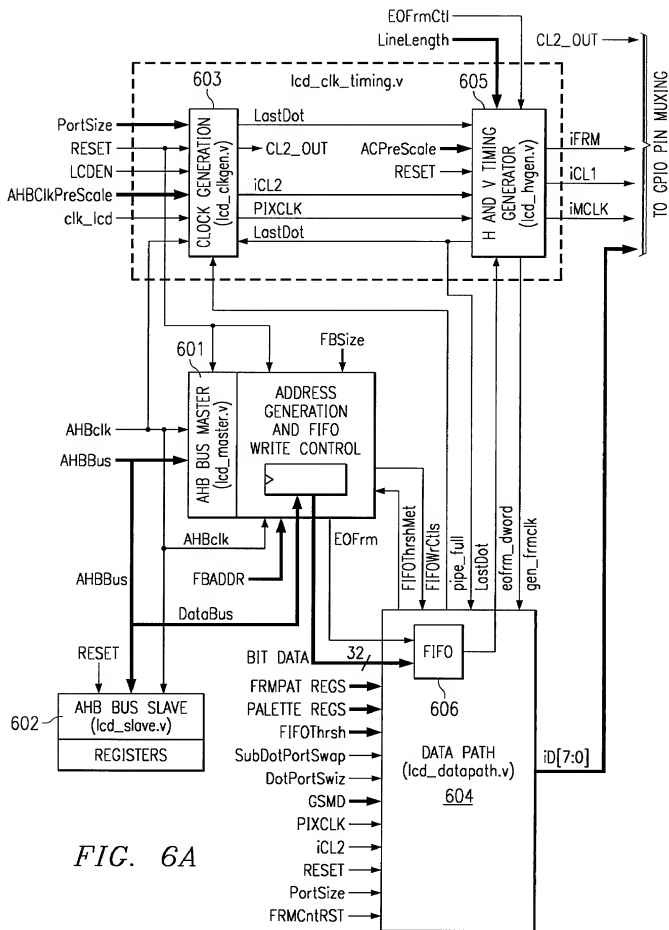


FIG. 6A



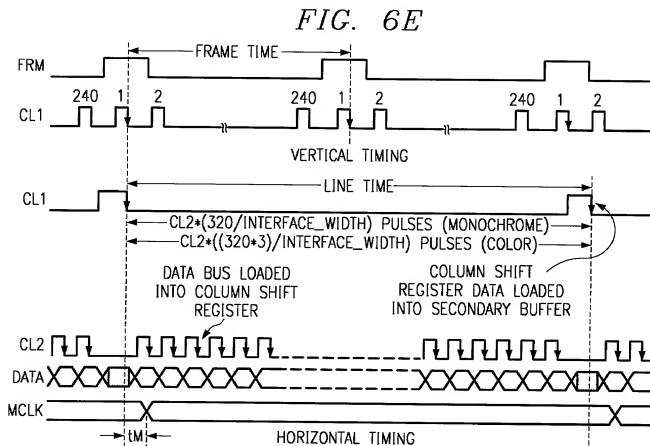
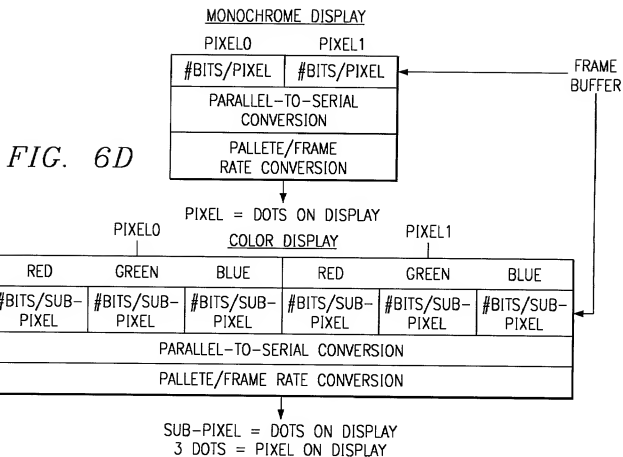
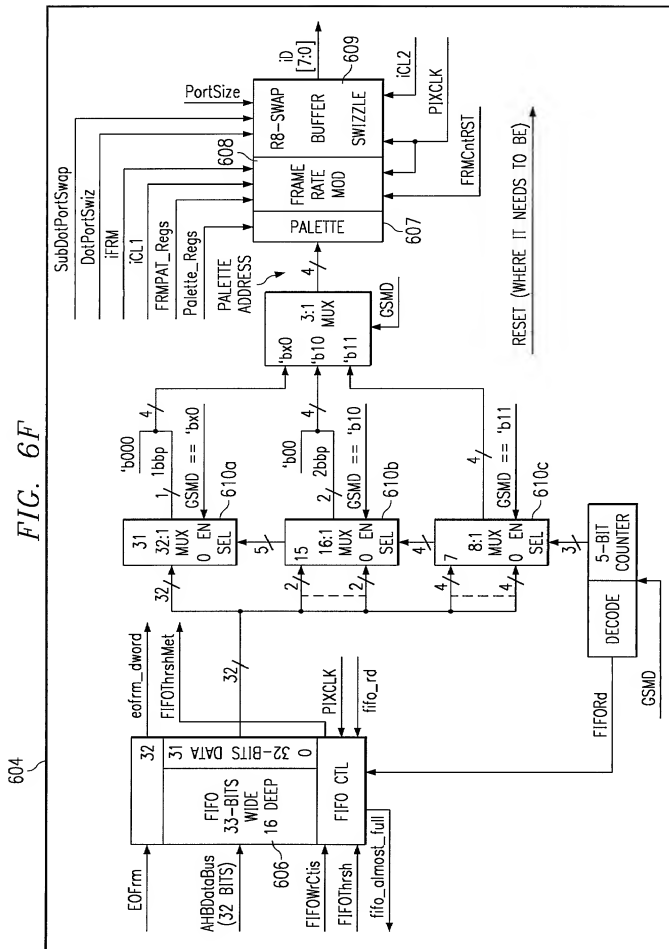
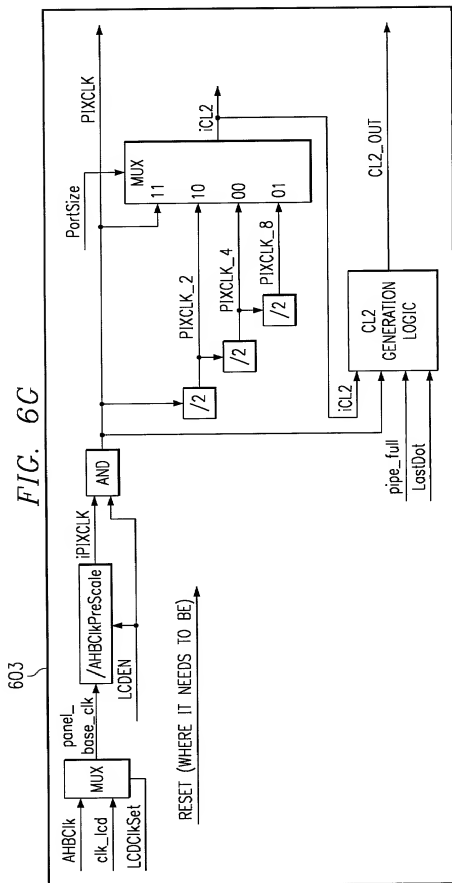


FIG. 6F





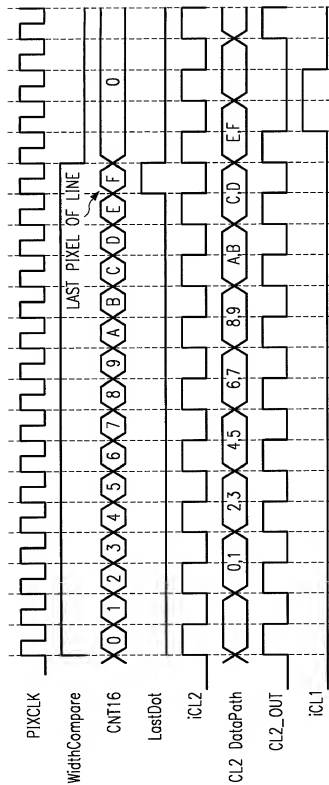


FIG. 6H

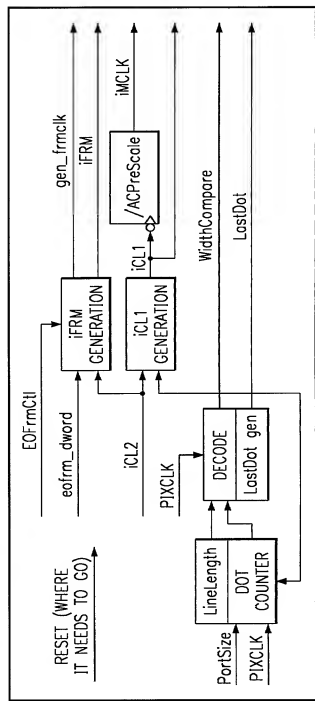


FIG. 6I

605

FIG. 6J

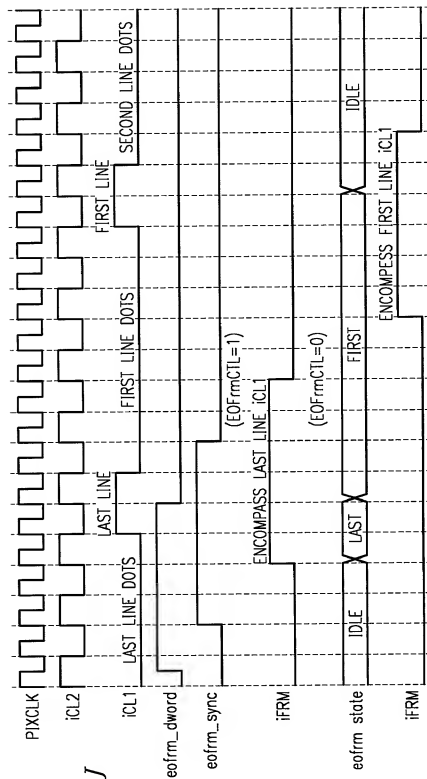


FIG. 6K

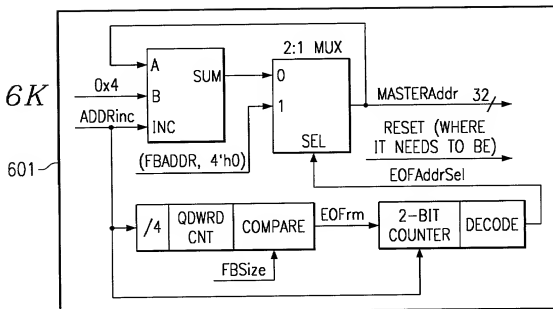


FIG. 17

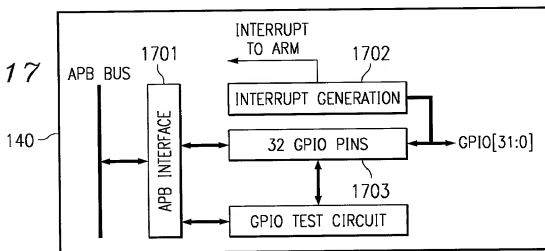
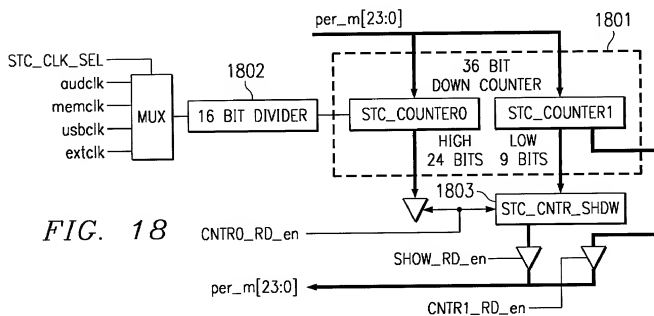


FIG. 18

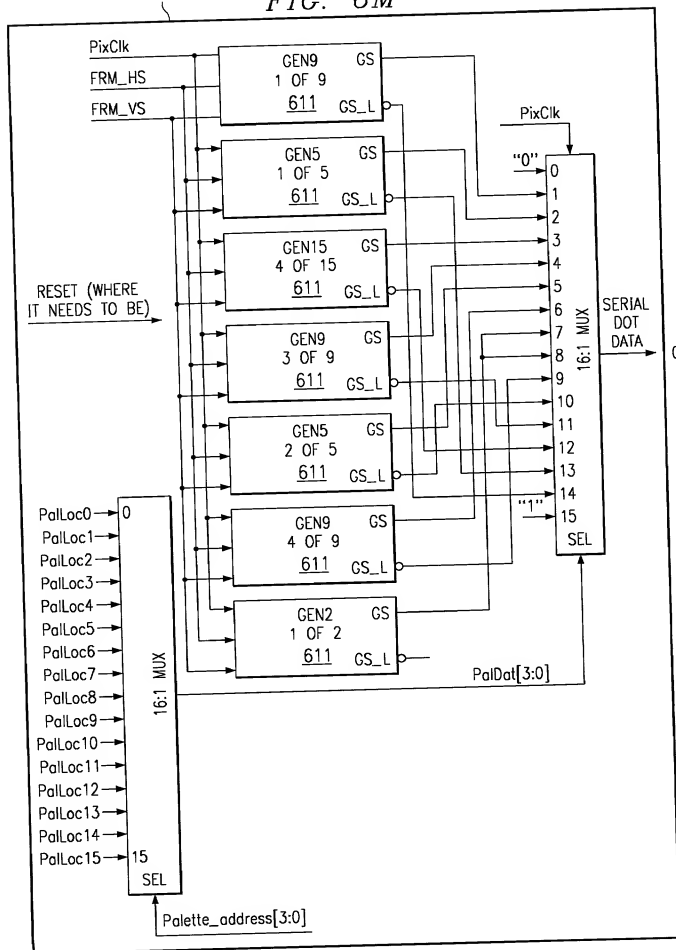


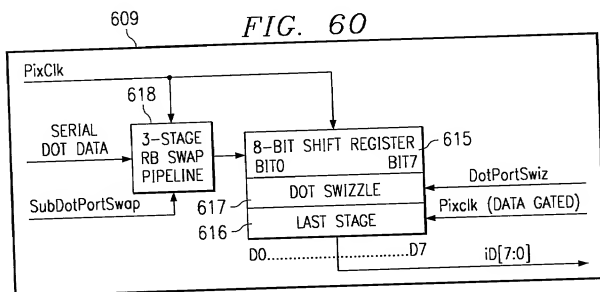
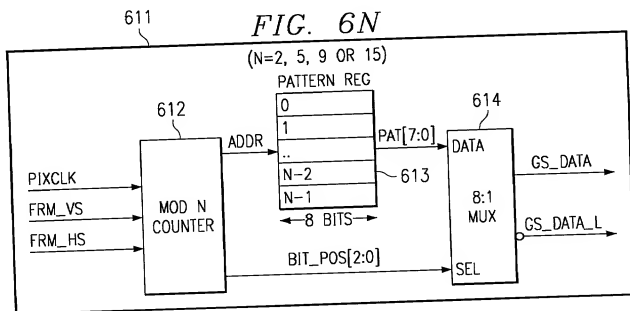




609

FIG. 6M





TIME (FROM THE SHIFT REGISTER POINT OF VIEW)

**FIG. 6P**

SubDotPortSwap=0

{BnGnRn}.....{B3G3R3}{B2G2R2}{B1G1R1}{B0G0R0}

SubDotPortSwap=1

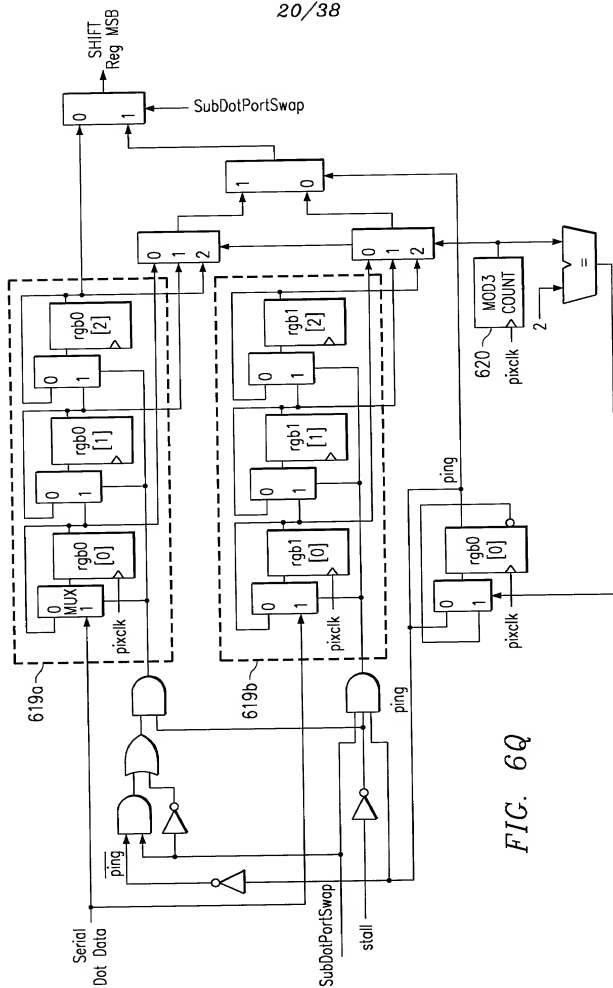


FIG. 6Q

FIG. 6R

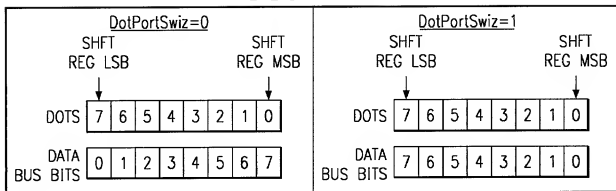


FIG. 6S

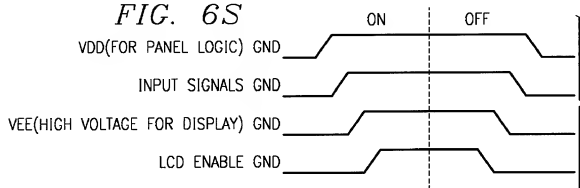


FIG. 7A

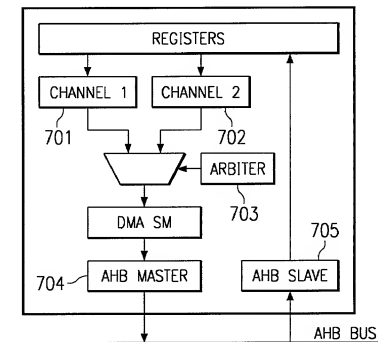


FIG. 7B

22/38

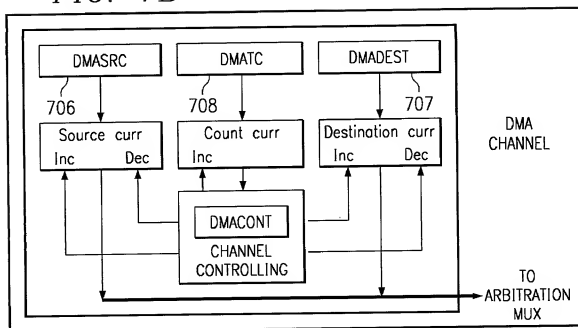
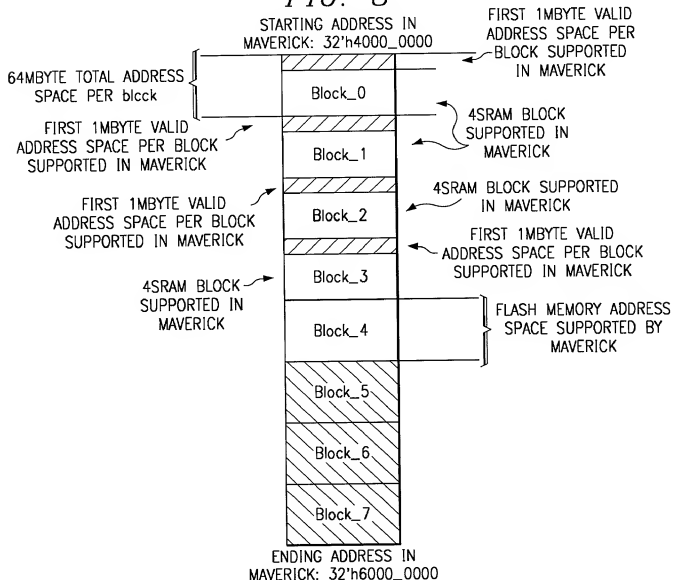


FIG. 8



126

FIG. 9

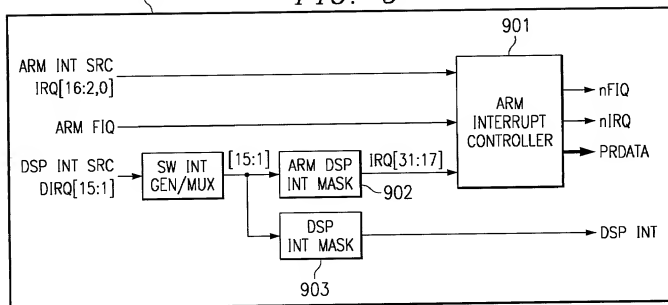
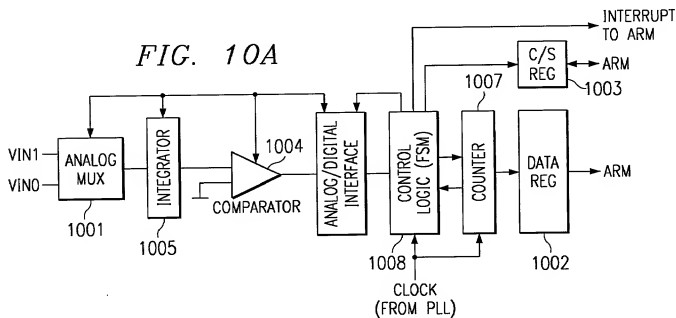


FIG. 10A



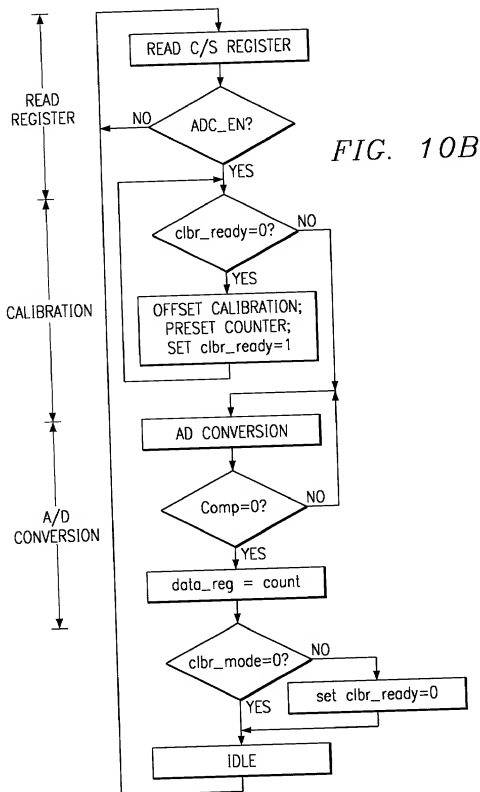




FIG. 11A

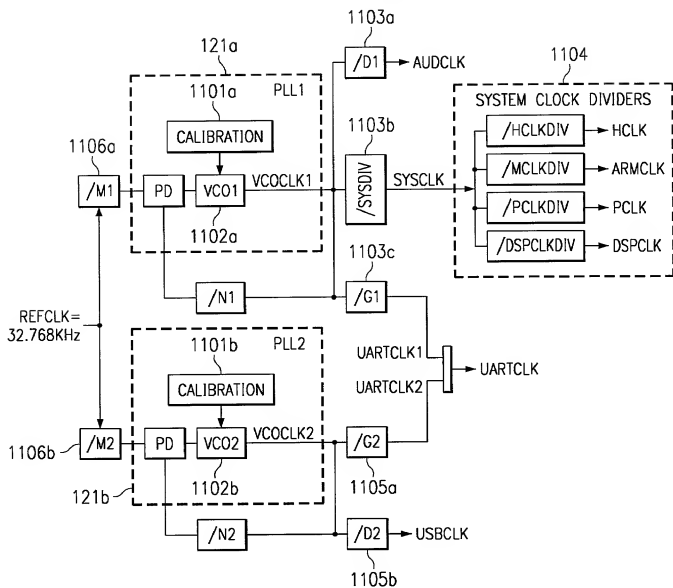




FIG. 11D

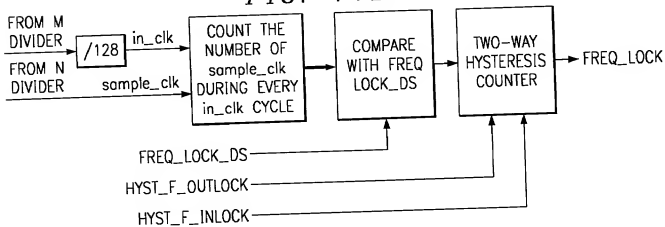


FIG. 12A

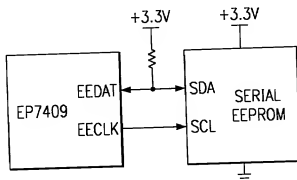
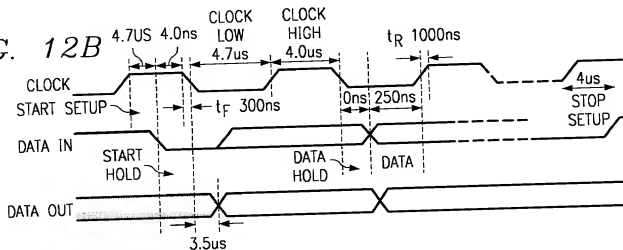
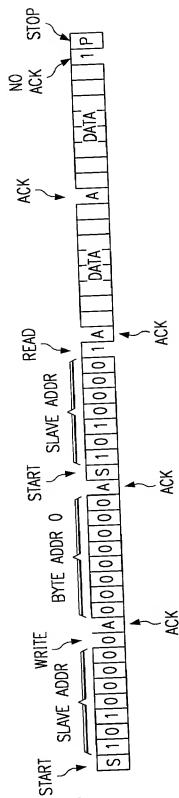
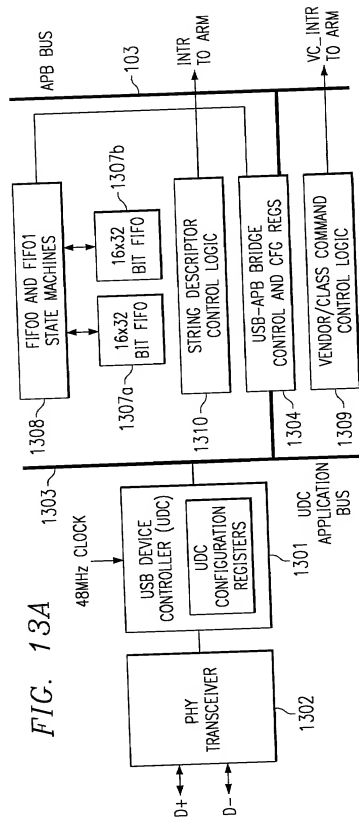


FIG. 12B



**FIG. 13A**

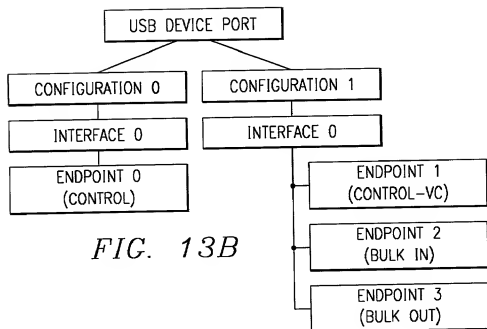


FIG. 13B

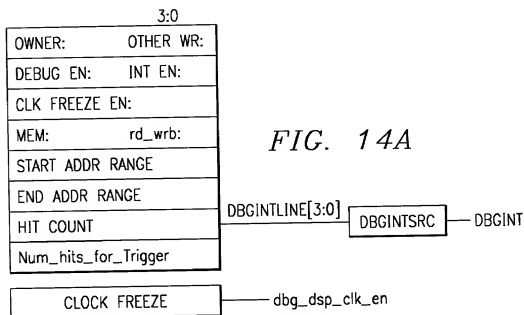
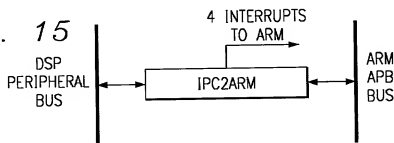


FIG. 14A

FIG. 15



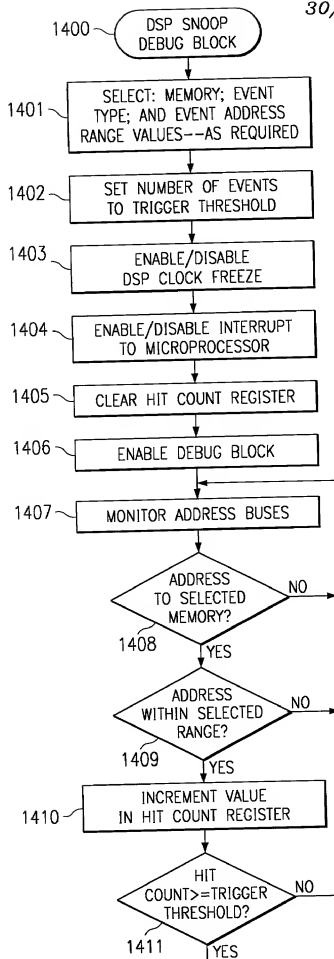


FIG. 14B

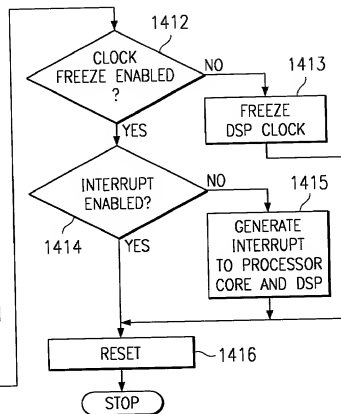


FIG. 16A

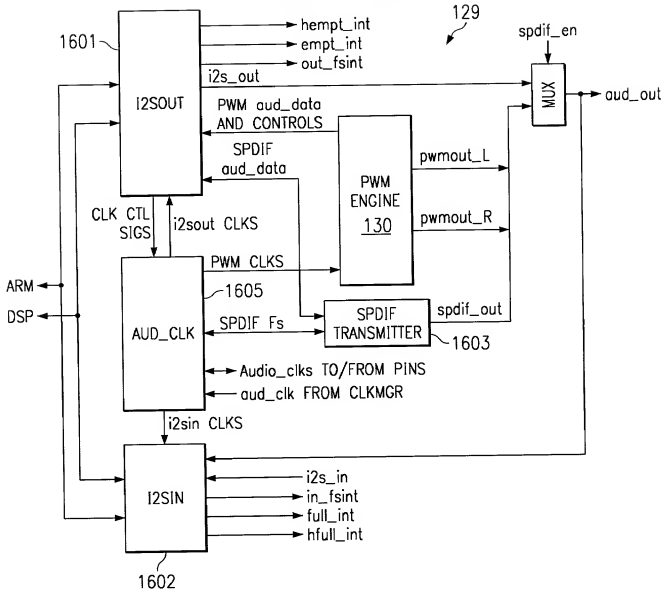


FIG. 16B

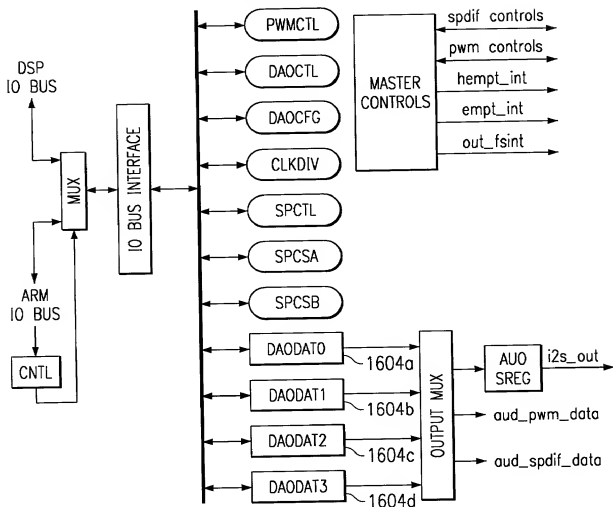
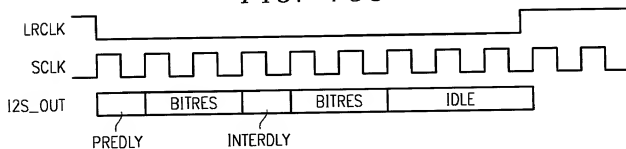


FIG. 16C





1602

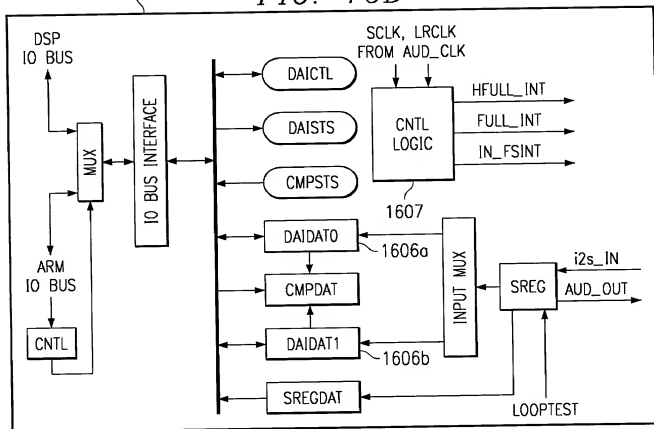


FIG. 19A

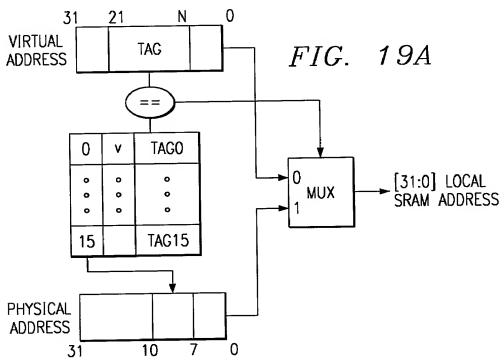


FIG. 19B

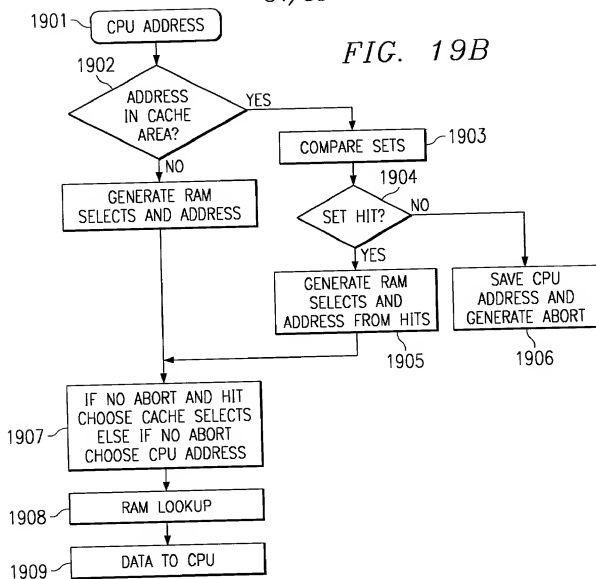
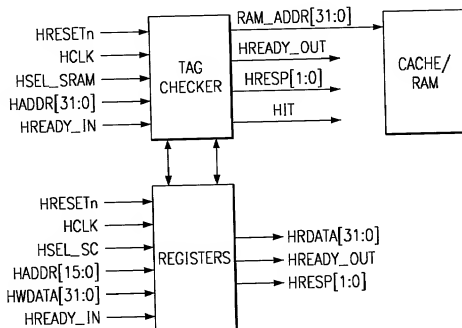


FIG. 19C



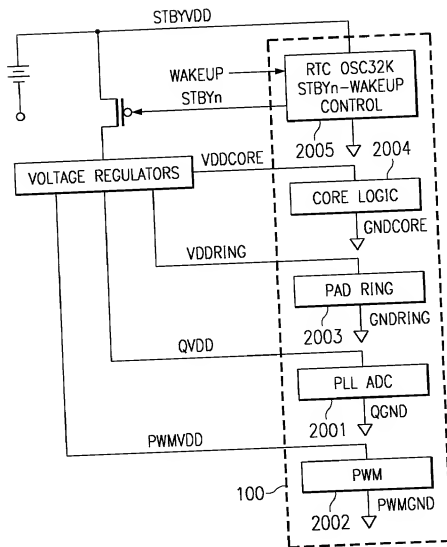


FIG. 20A

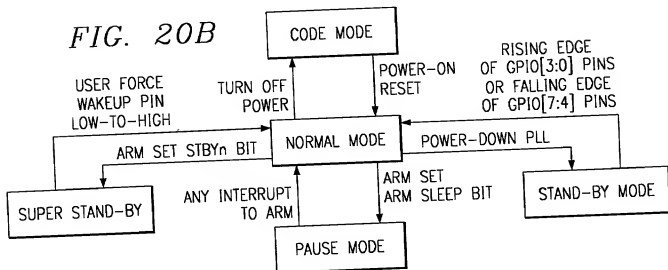


FIG. 20B

FIG. 20C

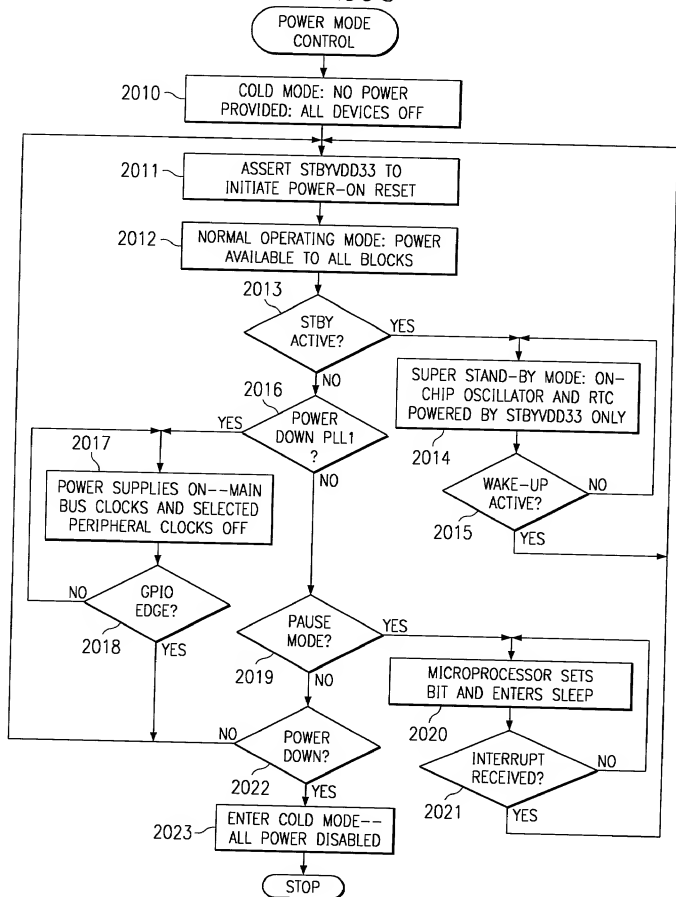
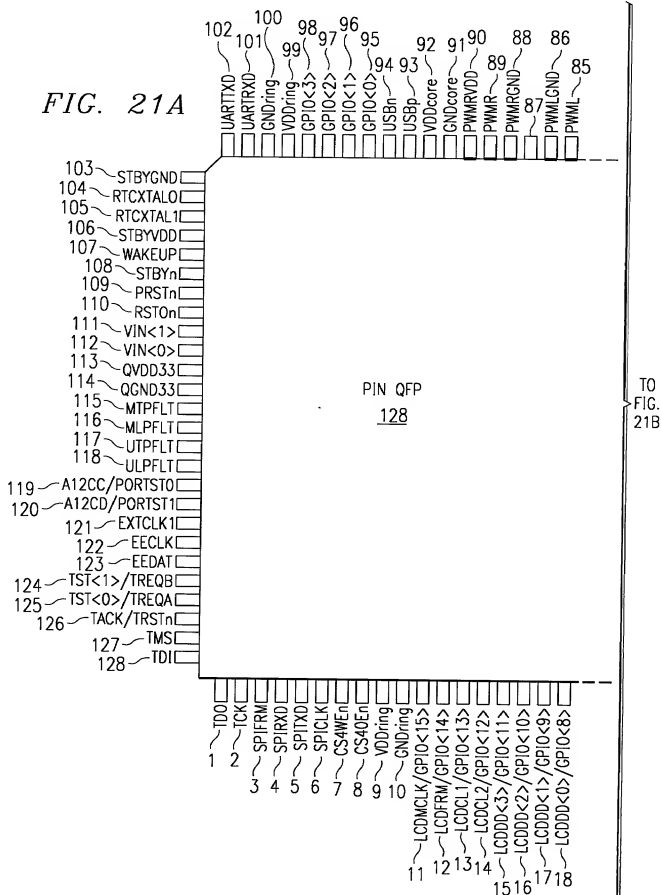


FIG. 21A



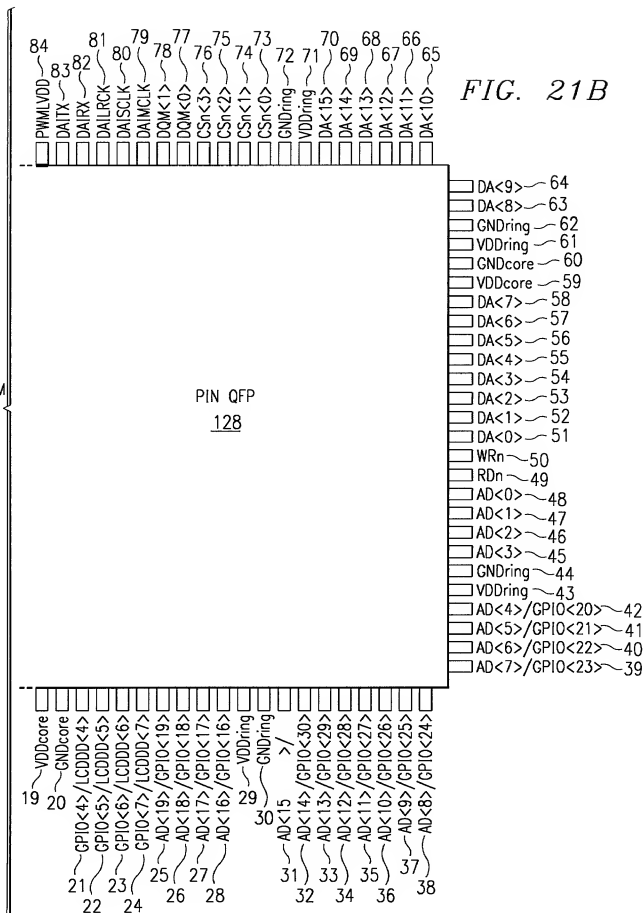
FROM  
FIG. 21A

FIG. 21B